

BAB 4

ANALISIS DATA POLA INTERFERENSI FRINJI PADA SISTEM INTERFEROMETER *SAGNAC*

Pada bab 4 ini dibahas hanya *setup* Interferometer *Sagnac* pasif menggunakan konfigurasi *triangle* dengan jarak antara satu cermin dengan cermin lain adalah 12 cm x 12 cm. Kondisi awal *platform* adalah diam dan kemudian bergerak rotasi dengan kecepatan sudut rotasi *platform* (Ω) konstan. *Setting* cermin dan pemisah berkas menghasilkan kedua berkas cahaya arah *cw* dan *ccw* bertemu pada satu titik sepanjang *ring resonator* sehingga menghasilkan gelombang berdiri pola interferensi frinji. Pola frinji sebanyak 7 di layar. Gerak rotasi *platform* menyebabkan gerak translasi pola interferensi frinji.

Pemodelan matematika gelombang transversal dengan memasukkan data geometrikal seperti periода Λ menghasilkan pola spasial 2 Dimensi dan 3 Dimensi. Analisis data *image* pengukuran pola interferensi frinji dihitung menggunakan algoritma *FFT* 2 Dimensi sehingga diperoleh kurva *PSD* dan beda fasa absolut (ϕ) versus frekuensi fundamental (f). Tampilan histogram dengan data input rekaman *video* pengukuran pola interferensi frinji menghasilkan *beat frequency*. Apabila *beat frequency* dimasukkan ke dalam persamaan (4.2.1) maka diperoleh kecepatan sudut pola interferensi frinji (Ω_L) per sekuensial. Data ini menghasilkan kurva *lock in*.

4.1 Analisis data dari pembacaan output Interferometer *Sagnac*

Pemodelan persamaan (2.8.7) dari Bab 2 Teori Gelombang, Interferensi dan Interferometer *Sagnac* sebagai gelombang interferensi transversal membentuk pola spasial frinji di layar. Pemodelan matematika gelombang sebagai pola spasial 3 Dimensi dan 2 Dimensi seperti terlihat pada Gambar 4.1 dan Gambar 4.2 berasal dari persamaan superposisi Intensitas Longitudinal berikut ini.

$$E^2(x, t) = 4 \cos^2 kx (\sin^2 \omega t \cos^2 \Delta kx + 2 \sin \omega t \cos \omega t \sin \Delta kx \cos \Delta kx + \sin^2 \Delta kx \cos^2 \omega t)$$

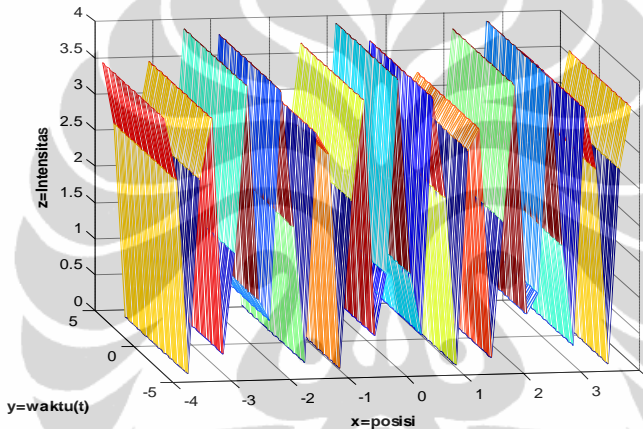
$$k \rangle \rangle \Delta k;$$

Misalkan: $\lim_{\Delta kx \rightarrow 0} \sin \Delta kx \approx 0$
 $\Delta kx \rightarrow 0$

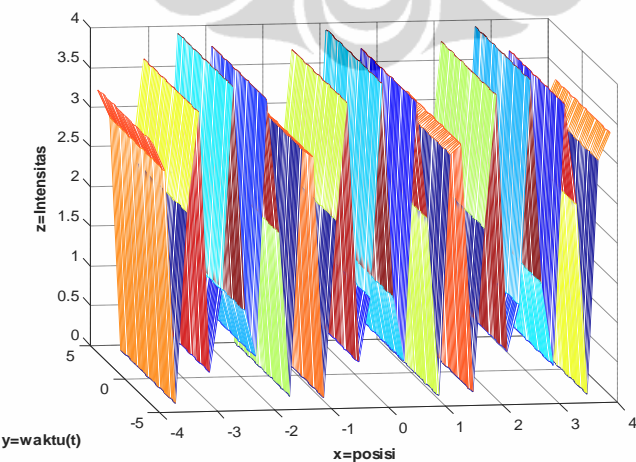
Aproksimasi

$$E^2(x, t) \approx 4 \cos^2 kx \sin^2 \omega t \cos^2 \Delta kx$$

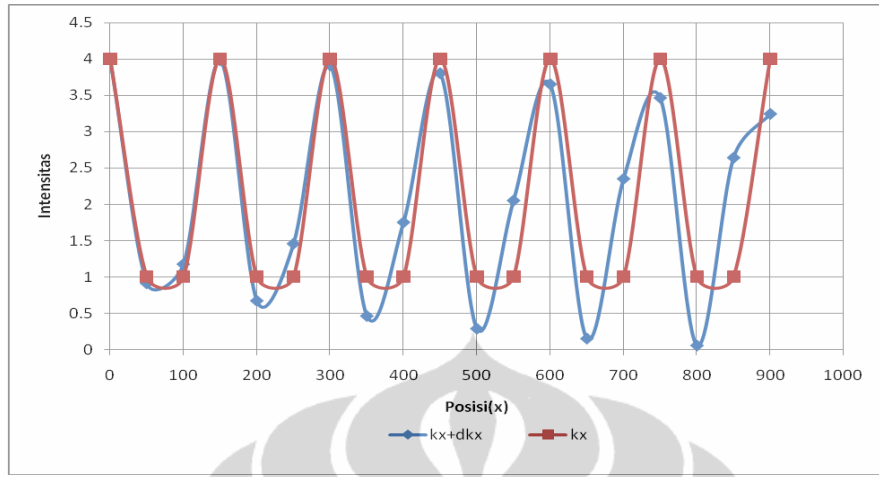
$$E^2(x, t) = 2(1 + \cos 2(kx \pm \Delta kx)) \cdot \sin^2 \omega t \quad (4.1.1)$$



Gambar 4.1 (a) Pola spasial 3 Dimensi dari pemodelan matematika persamaan gelombang (4.1.1) di mana $k = 2\pi/\Lambda$ di mana $\Delta k = 0$.

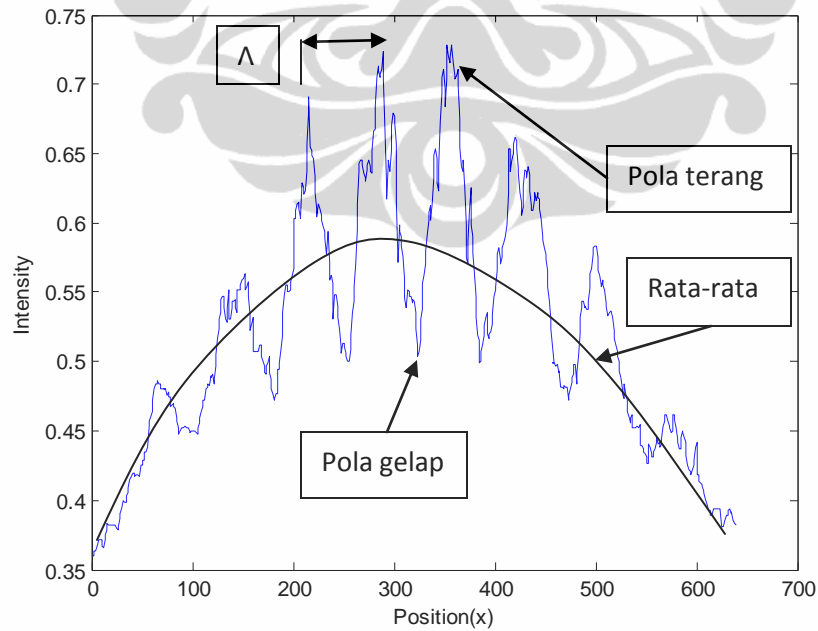


Gambar 4.1 (b) Pola spasial 3 Dimensi dari pemodelan matematika persamaan gelombang (4.1.1) di mana $k = 2\pi/\Lambda$ di mana $\Delta k \neq 0$.



Gambar 4.2 Pola spasial 2 Dimensi dari pemodelan matematika persamaan gelombang (4.1.1) di mana $k = 2\pi/\Lambda$ (merah) dan ada $+\Delta k$ (biru) pada waktu (t) tertentu.

Gambar 4.3 adalah pola spasial pengukuran pola interferensi frinji dengan kecepatan sudut rotasi *platform* sebesar 18 putaran per menit sebagai pengambilan data geometrikal. Pola terang-gelap dibatasi oleh garis kontinu sebagai akibat pemisah berkas tidak (50 : 50) %.



Gambar 4.3 Pola spasial interferensi frinji pada kecepatan sudut rotasi *platform* 18 putaran per menit.

4.2 Pengukuran *beat frequency* pada Interferometer *Sagnac* pasif

Pada eksperimen Interferometer *Sagnac* pasif ini diperoleh 5 titik pengukuran kecepatan sudut rotasi *platform* (Ω) konstan searah putaran jarum jam di mana putaran berasal dari motor rotasi. Gerak translasi pola interferensi frinji di layar saat *platform* bergerak rotasi konstan searah putaran jarum jam direkam melalui sensor *web camera* ke *video recording*. Jarak sensor *web cam* ke layar adalah 10 cm. Data input *video* diolah secara *offline* melalui tampilan histogram per sekuensial di mana *beat frequency* diperlihatkan oleh kurva berwarna merah (*Red*) bagian tengah spektrum. Kurva *lock in* melalui analisis data geometrikal luas (A) dan keliling (S) dari *ring resonator* dengan sumber *laser* gas He Ne berdaya 5 mWatt. *Beat frequency* yang diperoleh dimasukkan ke dalam persamaan matematika (4.2.1) menghasilkan kecepatan sudut pola interferensi frinji [12].

Apabila ditambahkan 2 *accelerometer* maka sistem ini menjadi alat ukur sudut arah Ψ (*heading*) yang disebut *Ring Laser Gyroscope* berbasis *Strapdown Inertial Navigation* [18].

Contoh perhitungan kondisi tipikal:

Harga Ω_L (kecepatan sudut pola interferensi frinji) = 0.1° h^{-1} sebanding dengan $4.85 \times 10^{-7} \text{ rad s}^{-1}$. Harga *beat frequency* (f_b) hasil perhitungan teoretikal adalah 0.2299 *Hertz*. Berdasarkan data tersebut di atas maka harga *beat frequency* (f_b) dihitung sebagai berikut

$$f_b = \frac{(4)(\Omega_L)(A)}{(\lambda)(S)} = f_{\text{sagnac}} \quad (4.2.1)$$

$$f_b = \frac{(4)x(4.85x10^{-7})x(0.3x0.3)}{(632.8x10^{-9})x(4x0.3)} = 0.2299 \text{ Hertz}$$

di mana

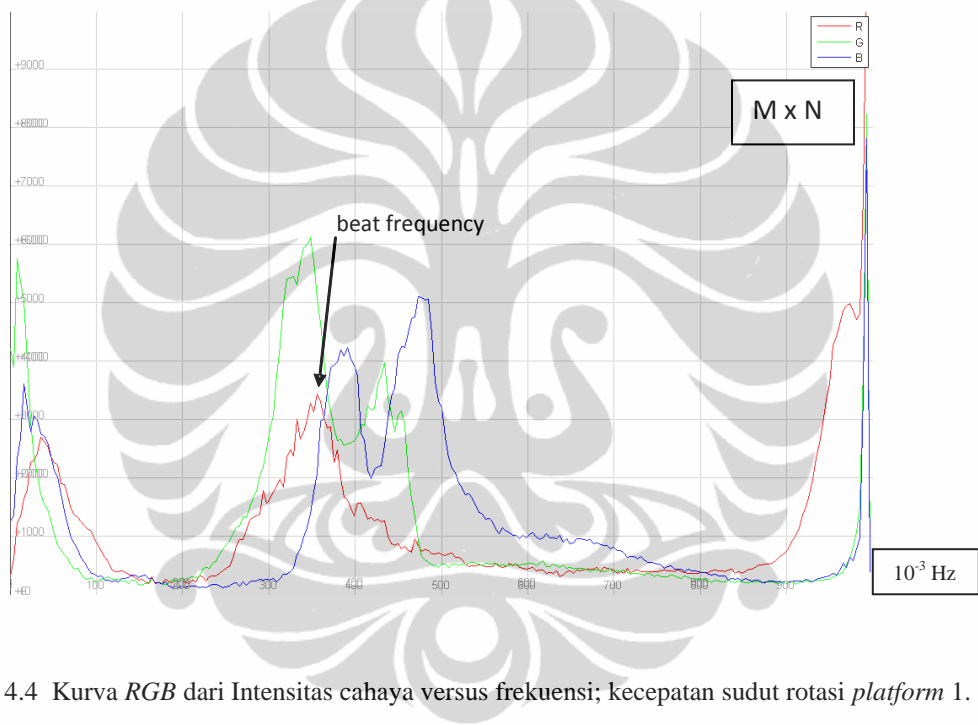
f_b : *beat frequency; Hertz*

Ω_L : kecepatan sudut pola interferensi frinji; *Radian per Second*

A : luas *ring resonator*; m^2

S : keliling *ring resonator*; m

Pada Gambar 4.4 terlihat *beat frequency* pada tampilan histogram *Red Green Blue* di mana pola bergerak translasi di layar. Data berasal dari file *RLG capture cam 11* di mana kecepatan sudut rotasi *platform* (Ω) mengalami akselerasi.



Gambar 4.4 Kurva *RGB* dari Intensitas cahaya versus frekuensi; kecepatan sudut rotasi *platform* 1.

Tampilan histogram dari data rekaman *video* berbentuk matriks baris x kolom M x N dan mempunyai intensitas maksimum pada kurva berwarna merah (*RED*). Pengukuran beberapa kali per sekuensial dengan kecepatan sudut rotasi *platform* konstan. Data pengukuran ini direkam pada file *rpm capture cam 16, 17, 19, 20* dan *21*. Masing-masing *beat frequency* mempunyai 5 data pengukuran kecepatan sudut rotasi (Ω) *platform*. Masukkan data ini ke dalam persamaan (4.2.1) sehingga menghasilkan kecepatan sudut pola interferensi frinji ($\Omega_{L1}; \Omega_{L2}; \Omega_{L3}; \Omega_{L4}$ dan Ω_{L5}).

4.3 Pengukuran kecepatan sudut rotasi *platform* (Ω) konstan [13]

Hasil eksperimen Interferometer *Sagnac* pada kecepatan sudut rotasi *platform* (Ω) konstan searah putaran jarum jam mempunyai jumlah frinji 7. *Beat frequency* (f_b) diukur dari tampilan histogram dengan data input rekaman *video* pola interferensi frinji dan kemudian dimasukkan ke dalam persamaan matematika (4.2.1) sehingga menghasilkan kecepatan sudut pola interferensi frinji (Ω_L). Hasil perhitungan dan pengukuran dari eksperimen *Sagnac* diperlihatkan oleh Tabel 4.1 di bawah ini.

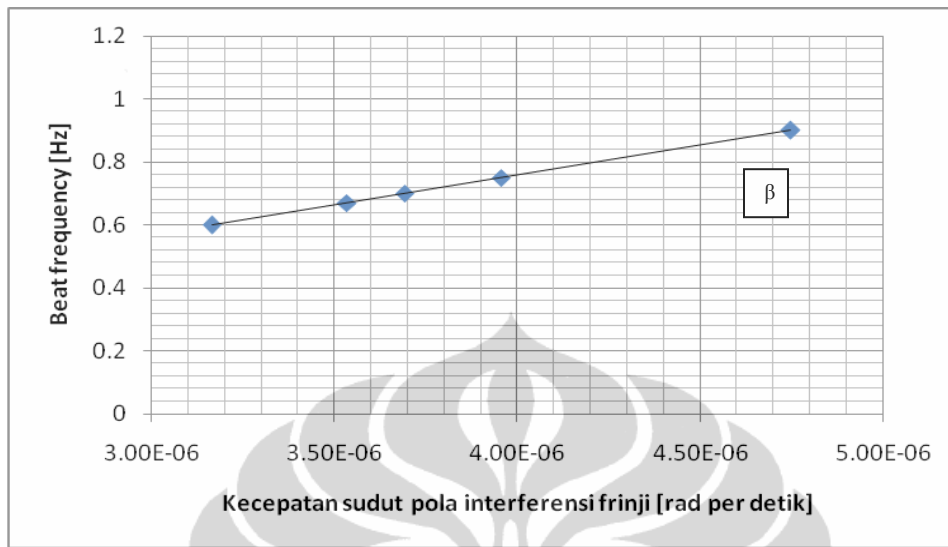
Tabel 4.1 Hasil pengukuran dan perhitungan untuk kecepatan sudut rotasi *platform* (Ω) konstan.

<i>File name:</i> <i>rpm capt</i>	Kecepatan sudut rotasi <i>platform</i> Ω (putaran per menit)	Perubahan Pola Frinji (ΔN) _{aktual}	Perhitungan Rumus Ω_L (rad detik ⁻¹)	Harga Intensitas (pixel)	Harga <i>beat frequency</i> (Hertz)
cam 21	13	0.000413054	0.4746×10^{-5}	3700	0.90
cam 20	16	0.000508374	0.3955×10^{-5}	4000	0.75
cam 16	18	0.000571921	0.3691×10^{-5}	4000	0.70
cam 17	25	0.000794334	0.3533×10^{-5}	3900	0.67
cam 19	30	0.000953201	0.3164×10^{-5}	4000	0.60

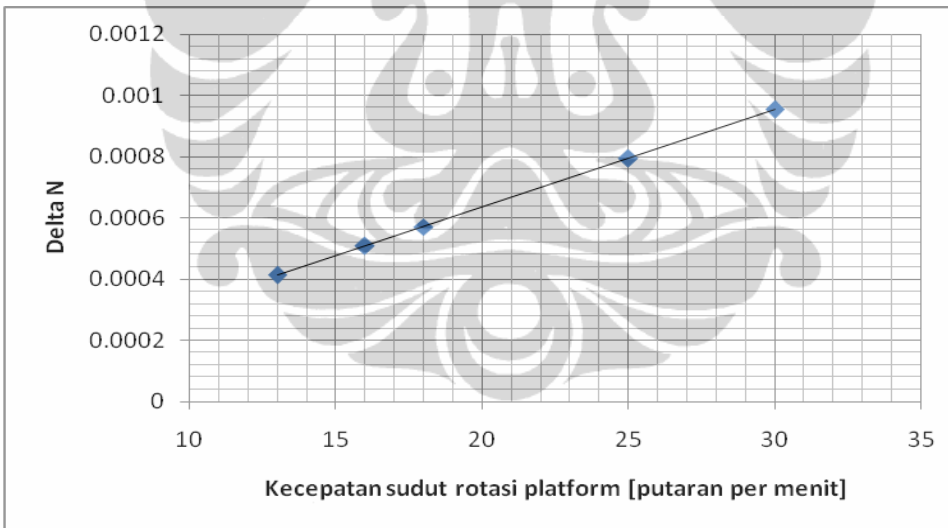
Pada Gambar 4.5 terlihat kurva *lock in* dengan memplot *beat frequency* versus kecepatan sudut pola interferensi frinji (Ω_L) pada 5 titik pengukuran membentuk kurva linier dan sudut β terhadap sumbu x. Hasil kurva *lock in* yang diperoleh dari eksperimen ini mempunyai ω_L masih berada di bawah kurva terbaik eksperimental luar negeri yang juga menggunakan sumber *laser* gas He Ne [3]. Harga ω_{Lock} teori

$$\omega_{Lock} = \frac{3 \cdot 10^8 \times 632 \cdot 10^{-9}}{8\pi \times 0.25 \times \sin 60^\circ} \times 10^{-4} \approx 0,2^\circ / \text{detik} = 349 \times 10^{-5} \text{ rad/detik} \quad (4.2.2)$$

Pada Gambar 4.6 terlihat kurva ΔN versus kecepatan sudut rotasi *platform* (Ω) hasil perhitungan teoretikal dengan data eksperimen seperti kecepatan sudut rotasi *platform* adalah linier.



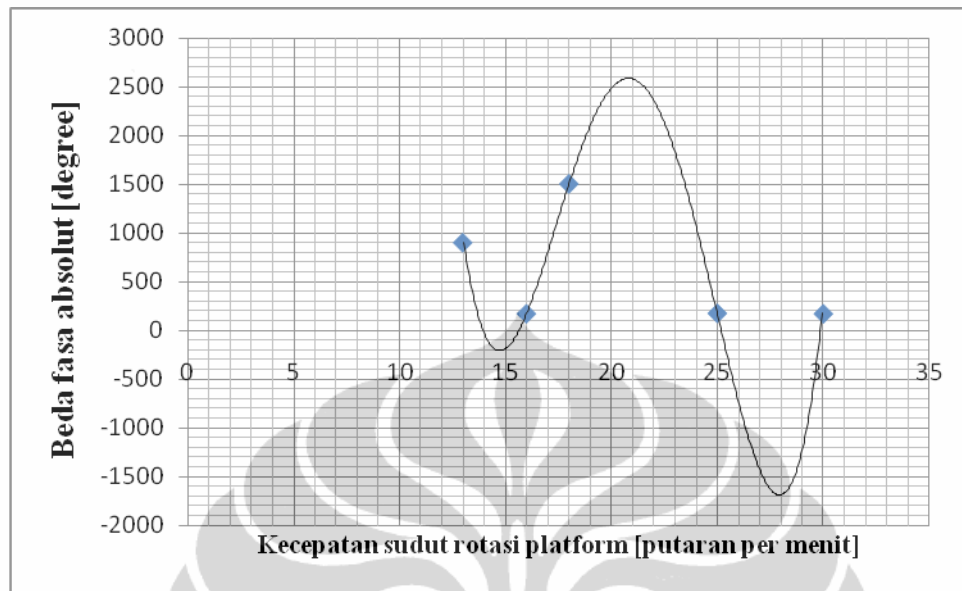
Gambar 4.5 Kurva *lock in* untuk beberapa kecepatan sudut rotasi *platform* (Ω).



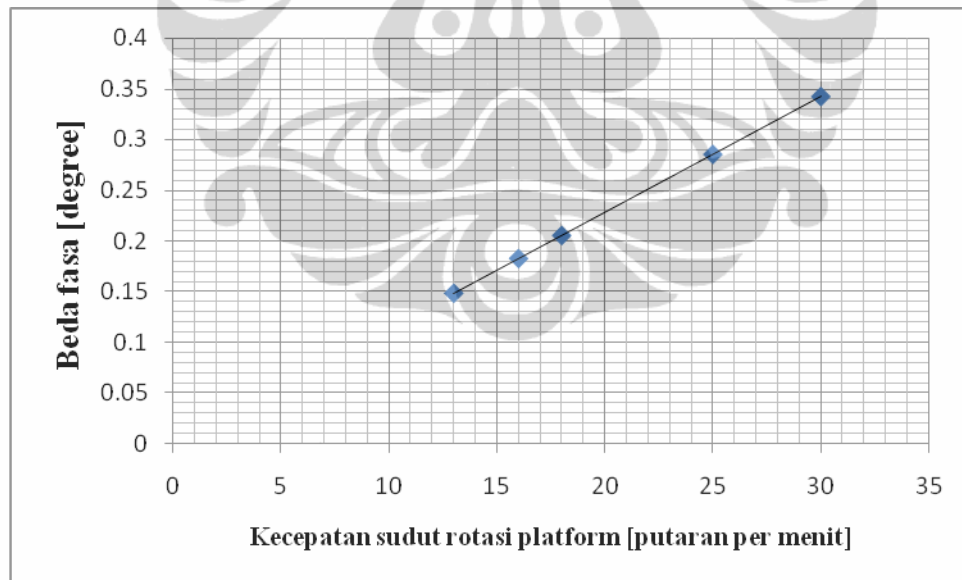
Gambar 4.6 Kurva ΔN versus kecepatan sudut rotasi *platform* (Ω) konstan.

Pada Gambar 4.7 terlihat kurva beda fasa absolut (ϕ_a) versus kecepatan sudut rotasi *platform* (Ω) secara eksperimental adalah sinusoidal orde empat [22].

Pada Gambar 4.8 terlihat kurva beda fasa (ϕ) versus kecepatan sudut rotasi *platform* (Ω) perhitungan teoretikal adalah linier.

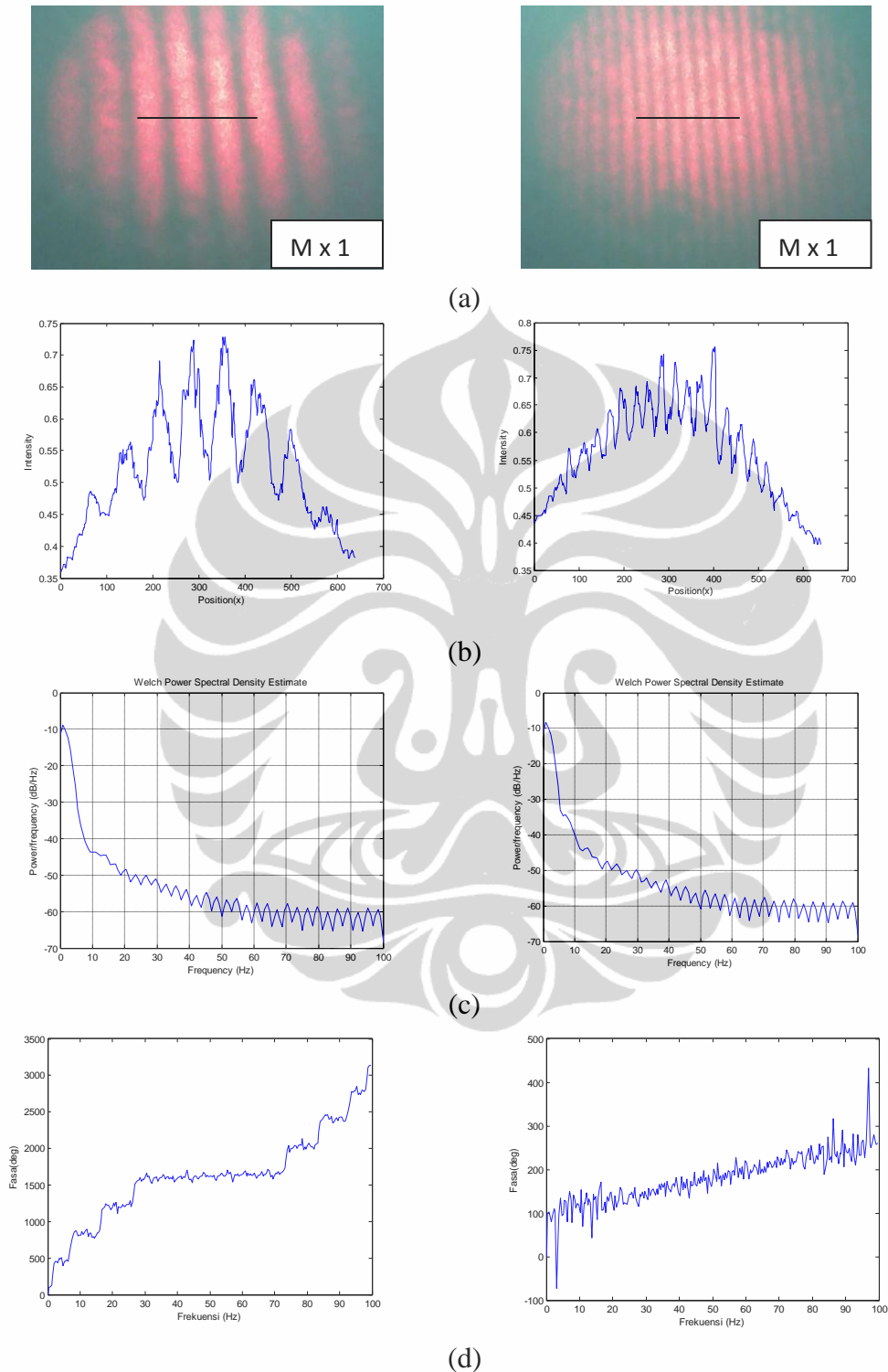


Gambar 4.7 Kurva beda fasa absolut (ϕ_a) versus kecepatan sudut rotasi *platform* (Ω) (secara eksperimental, diambil pada $f = 50 \text{ Hz}$) [22].

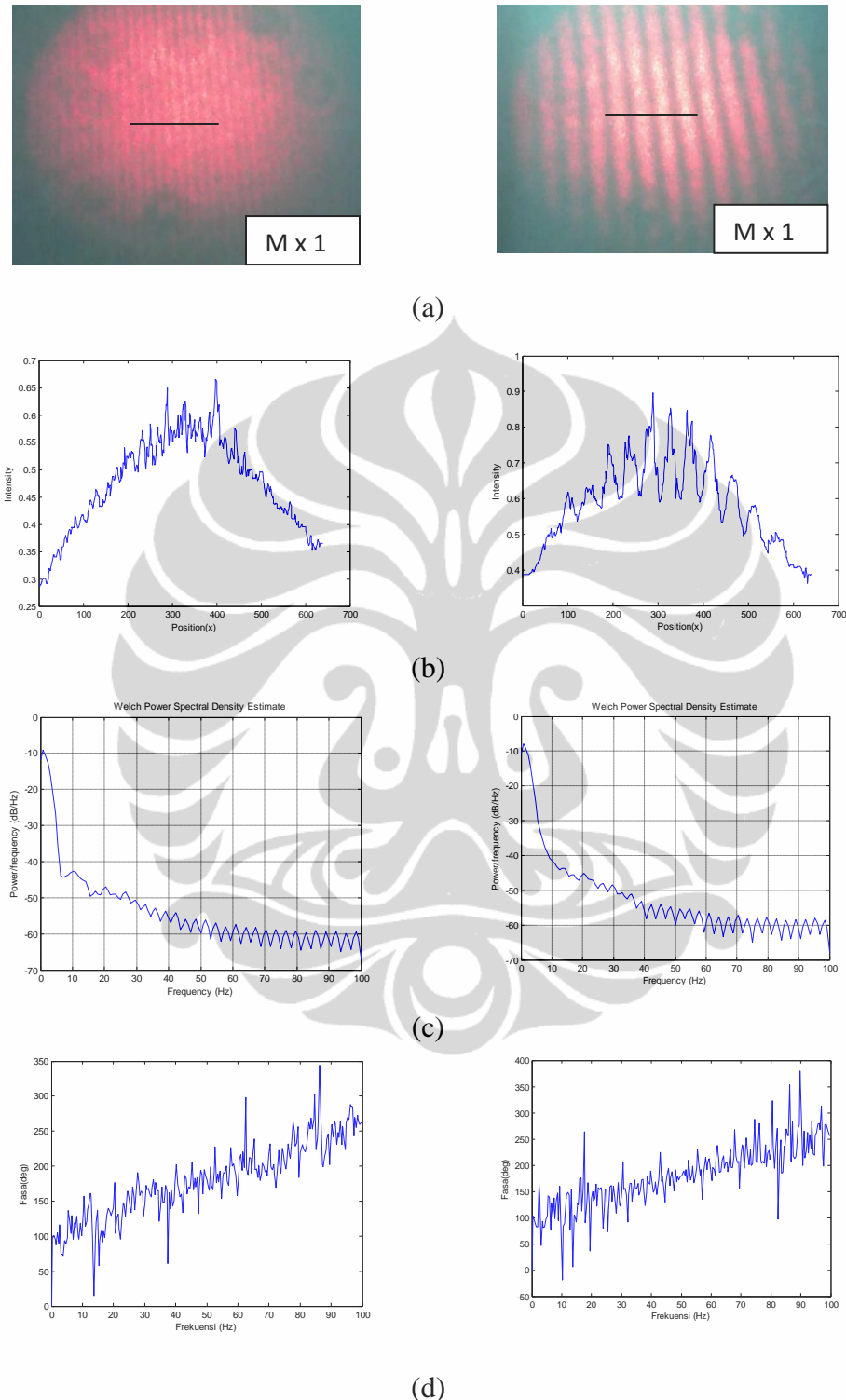


Gambar 4.8 Kurva beda fasa (ϕ) versus kecepatan sudut rotasi *platform* (Ω) (secara teoretikal).

Gambar 4.9 (a), (b), (c), (d) dan Gambar 4.10 (a), (b), (c), (d) terlihat pola interferensi frinji, pola spasial, PSD dan beda fasa absolut (ϕ) versus frekuensi fundamental (f).



Gambar 4.9 (a), (b), (c), (d) Pola interferensi frinji, pola spasial, *PSD* dan beda fasa absolut (ϕ) per frame file PDVG_6.bmp pada $\Omega = 18$ putaran per menit; PDVH_2.bmp pada $\Omega = 25$ putaran per menit. Keterangan _____: matriks baris [$M \times 1$].



Gambar 4.10 (a), (b), (c), (d) Pola interferensi frinji, pola spasial, *PSD* dan beda fasa absolut (ϕ) per frame file PDVI_5.bmp pada $\Omega = 30$ putaran per menit dan PDVF_4.bmp pada $\Omega = 16$ putaran per menit. Keterangan _____: matriks baris [M x 1].